

# Pracownia z analizy numerycznej

Sprawozdanie do zadania **P2.19**  
Prowadzący: dr hab. prof. Paweł Woźny

Martyna Firgolska, Michał Dymowski

Wrocław, 12 stycznia 2020

## Wstęp

...

## Metoda trapezów

...

## Kwadratury Gaussa-Legendre’a

Wagę nazywam funkcję ciągłą, która nie jest tożsamościowo równa 0.

### Kwadratura

Metoda całkowania numerycznego polegająca na obliczeniu wartości wyrażenia

$$\sum_{i=0}^n A_i f(x_i) \approx \int_a^b f(x) dx$$

gdzie  $x_0, \dots, x_n \in [a, b]$ .

### Kwadratura Gaussa-Legendre’a

Kwadratura w której węzły  $x_0, x_1, \dots, x_n$  są pierwiastkami  $n + 1$ -szego wielomianu ortogonalnego  $w_{n+1}$  na przedziale  $[a, b]$  (z wagą  $p \equiv 1$ ), a współczynniki są równe

$$A_i = \int_a^b \prod_{j=0, j \neq i}^n \frac{x - x_j}{x_i - x_j} dx$$

. O istnieniu wystarczająco wielu pierwiastków wielomianu ortogonalnego, oraz zasadności takiego doboru węzłów mówią następujące twierdzenia:

**Twierdzenie 1** *Jeśli niezerowa funkcja  $f \in C[a, b]$  jest ortogonalna w tym przedziale z wagą względem wszystkich wielomianów klasy  $\Pi_n$ , to w  $(a, b)$  zmienia znak co najmniej  $n + 1$  razy.*

**Dowód**  $1 \equiv w \in \Pi_n$ , więc  $\int_a^b f(x)w(x)dx = 0$ , co oznacza, że  $f$  musi zmieniać znak co najmniej raz. Przypuśćmy, że  $f$  zmienia znak tylko  $r$  razy, gdzie  $r \leq n$ . Zatem istnieją punkty  $a = a_0 < a_1 < \dots < a_{r+1} = b$  takie, że w każdym z przedziałów  $(a_i, a_{i+1})$  funkcja  $f$  ma stały znak. Wielomian  $\prod_{i=1}^r (x - a_i) = b(x) \in \Pi_n$  ma tę samą własność, więc ponieważ  $f$  jest niezerowa, a  $f(x)b(x)$  jest ciągła to powinno być  $\int_a^b f(x)b(x)w(x)dx \neq 0$ , co jest sprzeczne z założeniem, że  $\int_a^b f(x)b(x)w(x)dx = 0$ .

W szczególności wielomian  $w_{n+1}$  spełnia założenia powyższego twierdzenia, więc musi mieć dokładnie  $n + 1$  pierwiastków jednokrotnych.

**Twierdzenie 2** Jeśli węzły  $x_0, x_1, \dots, x_n$  są zerami  $n+1$ -szego wielomianu ortogonalnego  $w_{n+1}$  na przedziale  $[a, b]$  z wagą  $w$ , to kwadratura o współczynnikach

$$A_i = \int_a^b w(x) \prod_{j=0, j \neq i}^n \frac{x - x_j}{x_i - x_j} dx$$

jest dokładna dla każdego wielomianu  $f \in \Pi_{2n+1}$ .

**Dowód** Niech  $r$  będzie resztą z dzielenia wielomianu  $f$  przez  $w_{n+1}$ :  $(q, r \in \Pi_n)$

$$f = qw_{n+1} + r.$$

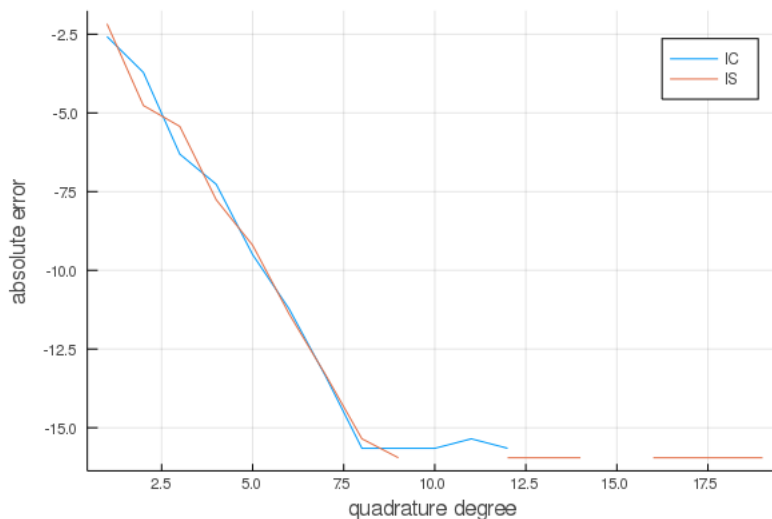
Stąd  $r(x_i) = f(x_i)$ . Ponieważ kwadratura Gaussa-Legendre'a jest z założenia dokładna dla wielomianów postaci  $\sum_{i=0}^n B_i \prod_{j=0, j \neq i}^n \frac{x - x_j}{x_i - x_j}$ , to jest dokładna dla wszystkich wielomianów z  $\Pi_n$ . Dla takich wielomianów kwadratura oblicza dokładną wartość całki wielomianu interpolacyjnego danego wielomianu w węzłach  $x_0, x_1, \dots, x_n$ . Ponieważ liczba użytych węzłów jest większa niż stopień wyjściowego wielomianu to otrzymany wielomian interpolacyjny jest mu równy. Ponieważ  $w_{n+1}$  jest ortogonalny względem wszystkich wielomianów stopnia co najwyżej  $n$ , to

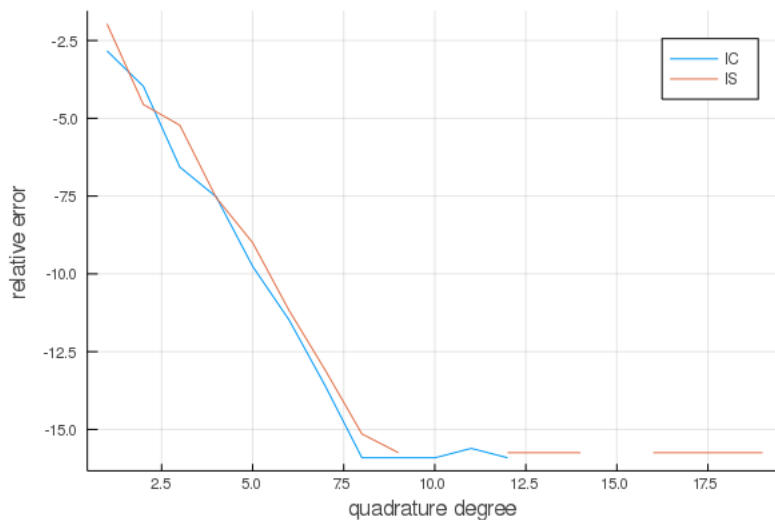
$$\int_a^b f(x)w(x)dx = \int_a^b r(x)w(x)dx = \sum_{i=0}^n A_i r(x_i) = \sum_{i=0}^n A_i f(x_i).$$

Nie da się skonstruować kwadratury, która przy użyciu  $n+1$  węzłów będzie dokładna dla wielomianów stopnia wyższego niż  $2n+1$ . Niech będą dane pewne  $x_0, x_1, \dots, x_n, A_0, A_1, \dots, A_n$ , kwadratura  $Q(f) = \sum_{i=0}^n A_i f(x_i)$  nie jest dokładna dla wielomianu  $\prod_{i=0}^n (x - x_i)^2$ .

## 0.1. Otrzymane wyniki

Kwadratury Gaussa-Legendre'a wykorzystaliśmy do obliczenia wartości całek z funkcji  $S_{new}$  i  $C_{new}$  równych odpowiednio całkom  $I_S, I_C$ .

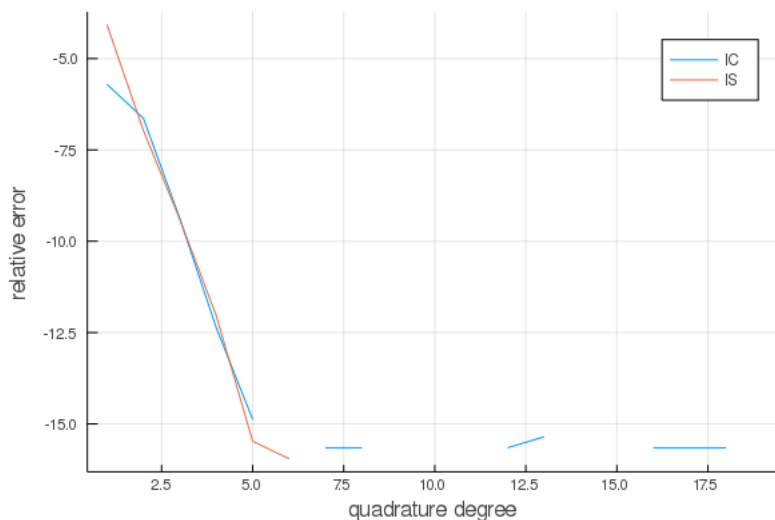




W punktach, w których wykres błędu bezwzględnego znika obliczona wartość jest równa reprezentacji wartości całki (odpowiednio  $I_C$  lub  $I_S$ ) w arytmetyce Float64. Ciąg kwadratur Gaussa-Legendre'a z funkcji ciągłej na przedziale jest zbieżny do wartości całki z tej funkcji (tw. Stieltjes'a), więc tak długo można się było spodziewać, że używanie kwadratur wyższych stopni będzie poprawiać dokładność otrzymanego wyniku, ale nawet wyniki dla bardzo niskich stopni kwadratur dają rezultaty znacznie dokładniejsze niż wcześniej użyte metody, wymagające wykonania wielokrotnie większej ilości obliczeń.

## Złożne kwadratury Gaussa-Legendre'a

Dzielimy przedział  $[-1, 1]$   $n$  punktami równnodległymi, a następnie całkę z danej funkcji obliczamy osobno na każdym z powstałych  $n - 1$  przedziałów, za każdym razem stosując kwadraturę Gaussa-Legendre'a.



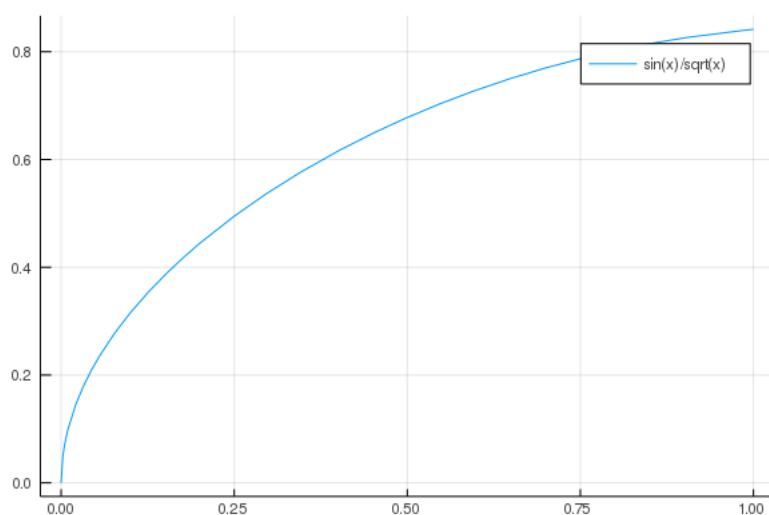
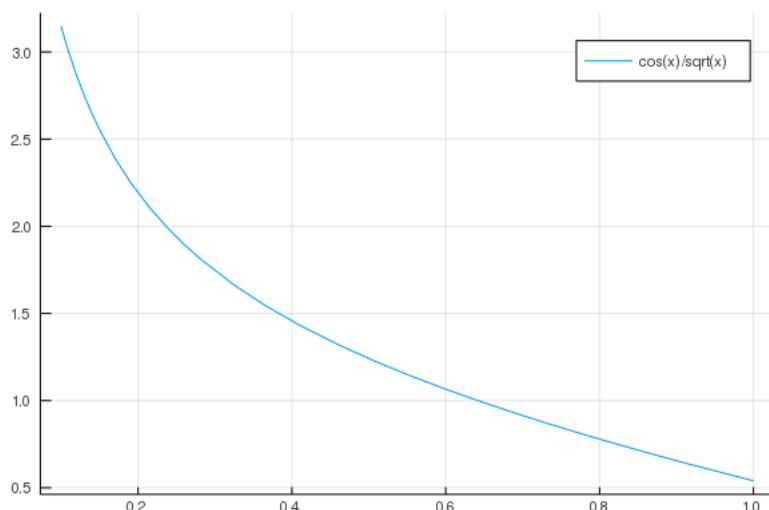
Powyżej widać wykres błędów względnych dla kwadratur rozbijających przedział  $[-1, 1]$  na trzy podprzedziały. Rozbijanie wyjściowego przedziału na większą ilość podprzedziałów nie wpływa na wyniki w sposób znaczący. Poprawia się jedynie dokładność otrzymanego wyniku dla kwadratur niższych stopni. W przypadku całki  $I_C$  otrzymujemy 16 cyfr dokładnych i wynik ten nie poprawia się, nawet gdy używamy ponad 100 podprzedziałów zamiast wyjściowego  $[-1, 1]$ . Dla 10 i więcej użytych podprzedziałów wyniki otrzymane przy obliczaniu całki  $I_C$  jest dokładną wartością  $I_C$  w arytmetyce Float64.

## Badane funkcje

W tym sprawozdaniu zbadamy skuteczność różnych metod numerycznych w obliczaniu przybliżonych wartości całek dla funkcji  $C = \frac{\cos(x)}{\sqrt{x}}$  i  $S = \frac{\sin(x)}{\sqrt{x}}$  na przedziale  $[0, 1]$ . Całkowane funkcje nie są zdefiniowane w 0, na potrzeby obliczeń przyjmujemy, że wartości tych funkcji w 0 są równe 0.

$$I_C = \int_0^1 \frac{\cos(x)}{\sqrt{x}} dx \approx 1.8090484758005441629... \quad (1)$$

$$I_S = \int_0^1 \frac{\sin(x)}{\sqrt{x}} dx \approx 0.6205366034467622036... \quad (2)$$



Przyjrzyjmy się wykresom badanych funkcji na podanym przedziale. Zauważamy, że  $C$  w zerze rozbiega do nieskończoności, a  $S$  w zerze zbiega do 0. Rzeczywiście obliczenie granic daje wyniki zgodne z wykresami funkcji:

$$\lim_{x \rightarrow 0} \frac{\cos(x)}{\sqrt{x}} = \lim_{x \rightarrow 0} \frac{\cos(0)}{\sqrt{x}} = +\infty \quad (3)$$

$$\lim_{x \rightarrow 0} \frac{\sin(x)}{\sqrt{x}} = \lim_{x \rightarrow 0} \frac{\sin(x)}{x} \sqrt{x} = 0 \quad (4)$$

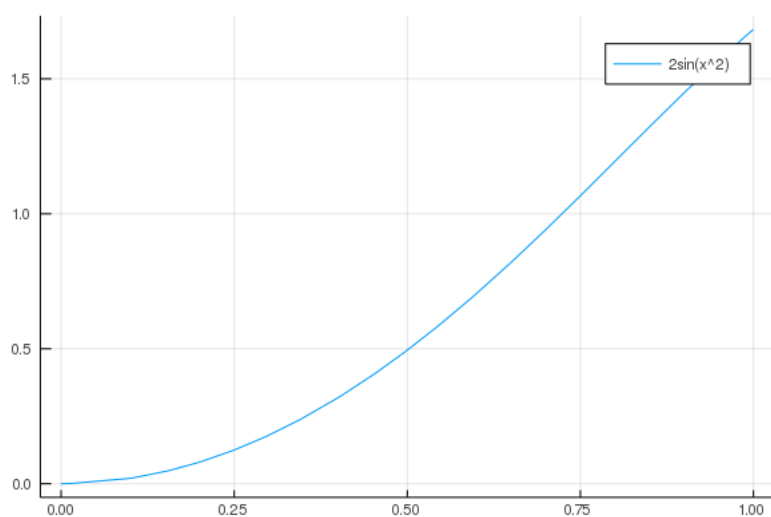
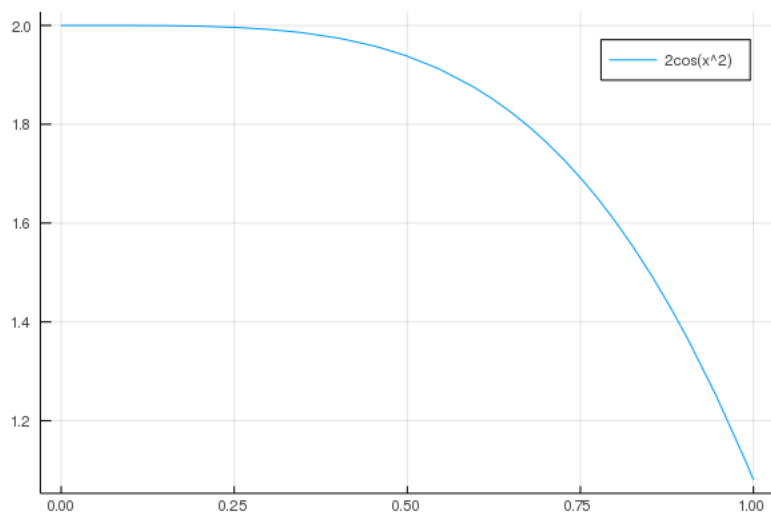
Na podstawie tej informacji możemy przypuszczać, że obliczenie całki  $I_S$  będzie łatwiejsze niż obliczenie  $I_C$ , ponieważ  $S$  jest ograniczona, a jej wartość w 0 zgadza się z jej granicą w tym punkcie.  $C$  jest nieograniczona i w zerze przyjmuje 0, ale jej granica w tym punkcie wynosi  $+\infty$  zatem obliczenie całki w okolicy 0 może być niedokładne.

Możemy zmienić postać całek  $I_C$  i  $I_S$  za pomocą podstawienia  $x = t^2$  Wtedy:

$$I_C = \int_0^1 \frac{\cos(t^2)}{\sqrt{t^2}} 2tdt = \int_0^1 2\cos(t^2) \quad (5)$$

$$I_S = \int_0^1 \frac{\sin(t^2)}{\sqrt{t^2}} 2tdt = \int_0^1 2\sin(t^2) \quad (6)$$

Otrzymujemy w ten sposób nowe funkcje pod całką  $S_{new}(x) = 2\sin(x^2)$  i  $C_{new}(x) = 2\cos(x^2)$ . Nowe funkcje mają określone wartości dla wszystkich punktach z przedziału  $[0, 1]$  i obie funkcje są ograniczone, więc nie mamy takiego problemu jak przy funkcji  $C$ .



## Omówienie wyników

...